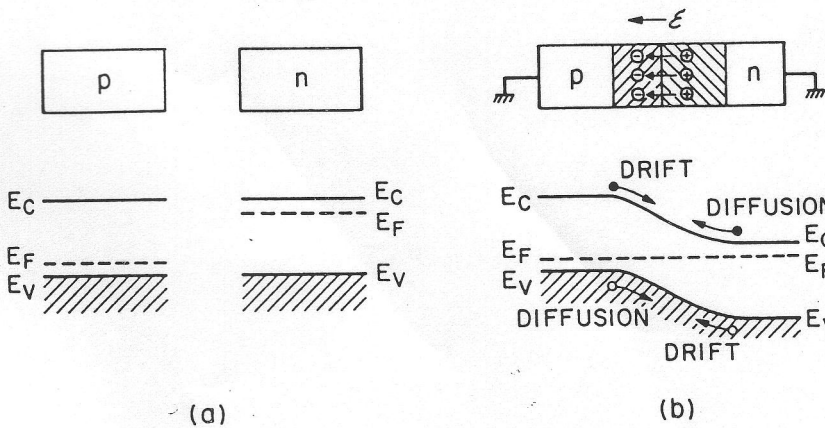
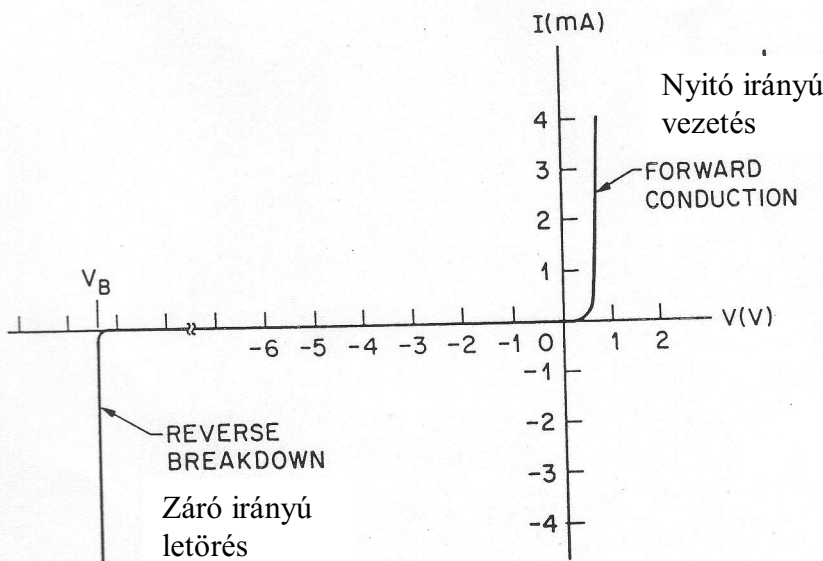


A p-n átmenet



Egyenletesen adalékolt p és n félvezető összekapcsolás előtt és után $\Rightarrow p-n$ átmenet termikus egyensúlyban

Kiürített réteg \Rightarrow elektromos tér koncentrációgradiens



Tipikus $p-n$ átmenet áramfeszültség jelleg görbéje (karakterisztikája)

Termikus egyensúlyban a $p-n$ átmeneten át nem folyik áram

$$J_p = J_p(\text{drift}) + J_p(\text{diff}) = q\mu_p p \bar{E} - qD_p \frac{dp}{dx}$$

$$= q\mu_p p \left[\frac{1}{q} \cdot \frac{dE_i}{dx} \right] - kT\mu_p \frac{dp}{dx} \quad \left| \quad \begin{aligned} \bar{E} &\equiv -\frac{d\psi}{dx} = \frac{1}{q} \cdot \frac{dE_i}{dx} \\ E_i &\text{ intrinsic Fermi-szint} \\ D_p &= kT\mu_p Iq \end{aligned} \right.$$

mivel $p = n_i \cdot e^{\left(\frac{E_i - E_F}{kT}\right)}$

deriváltja: $\frac{dp}{dx} = \frac{p}{kT} \left[\frac{dE_i}{dx} - \frac{dE_F}{dx} \right]$

$$J_p = \mu_p p \frac{dE_F}{dx} = 0 \Rightarrow \frac{dE_F}{dx} = 0$$

$$J_n = \mu_n n \frac{dE_F}{dx} = 0$$

Fermi energia állandó a szerkezetben termikus egyensúlyi esetben!

Töltéseloszlás és potenciál (Poisson-egyenlet)

$$\frac{d^2\psi}{dx^2} \equiv -\frac{d\vec{E}}{dx} = -\frac{\rho_s}{\epsilon_s} = -\frac{q}{\epsilon_s} (N_D - N_A + p - n)$$

ψ az elektrosztatikus potenciál

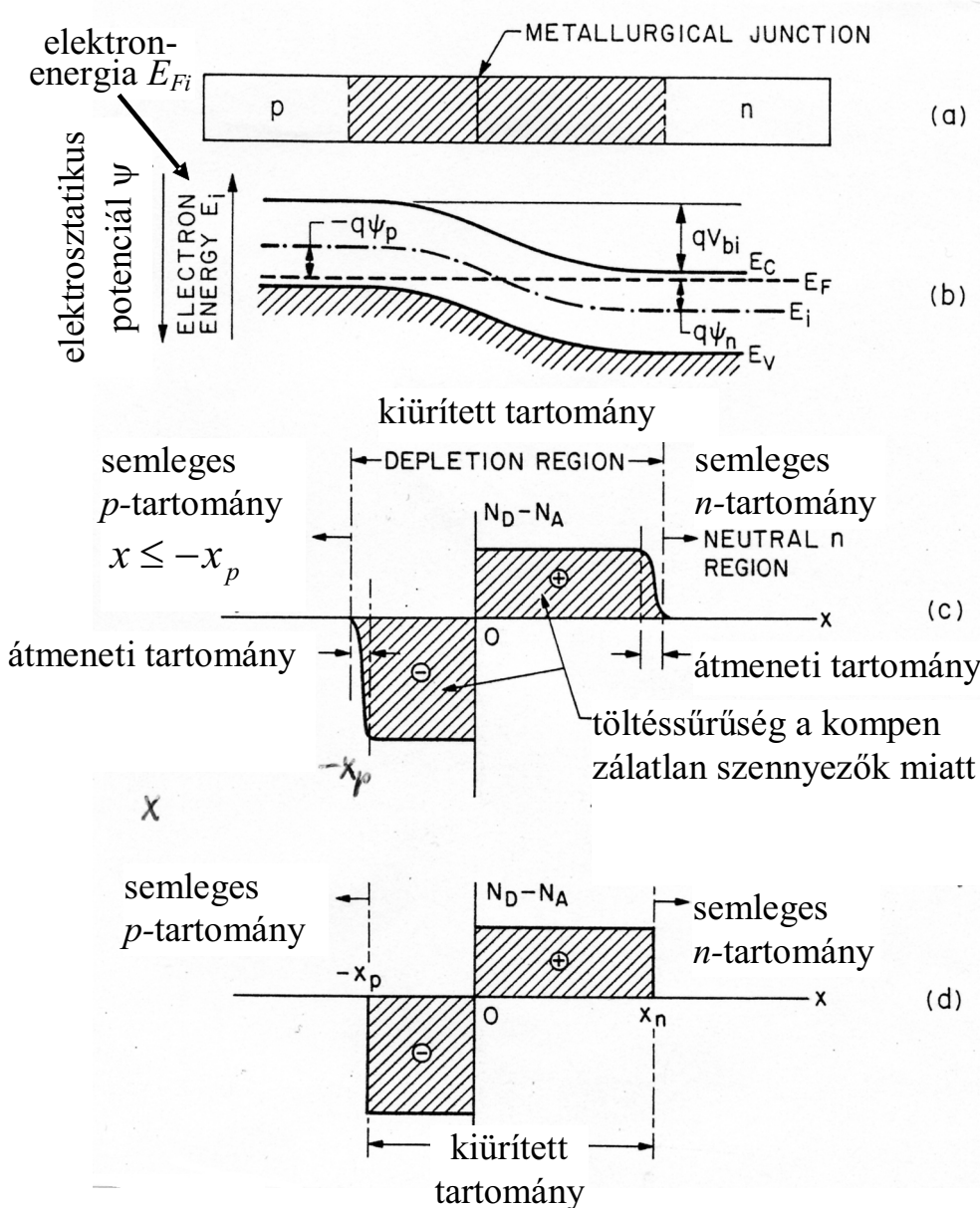
Feltétel: minden **donor** és **akceptor** ionizált

Töltéssemlegesség távol a $p-n$ átmenettől adott:

$$\frac{d^2\psi}{dx^2} = 0 \quad N_D - N_A + p - n$$

metallurgiai $p-n$ átmenet

Semleges tartományra:



p-típusú félvezető:

$$N_D = 0; \quad p \gg n$$

$$\psi_p \equiv -\frac{1}{q} (E_{Fi} - E_F) \Big|_{x \leq -x_p}$$

$$\psi_p = -\frac{kT}{q} \ln \frac{N_A}{n_i}$$

n-típusú félvezető:

$$N_A = 0; \quad n \gg p$$

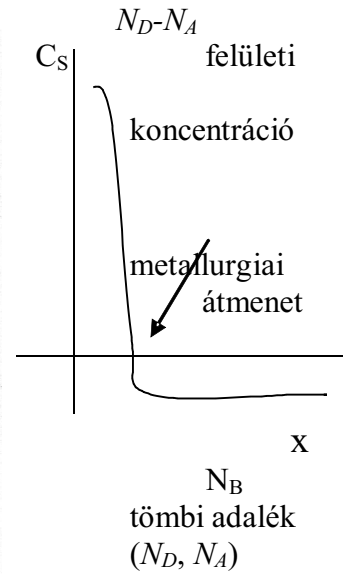
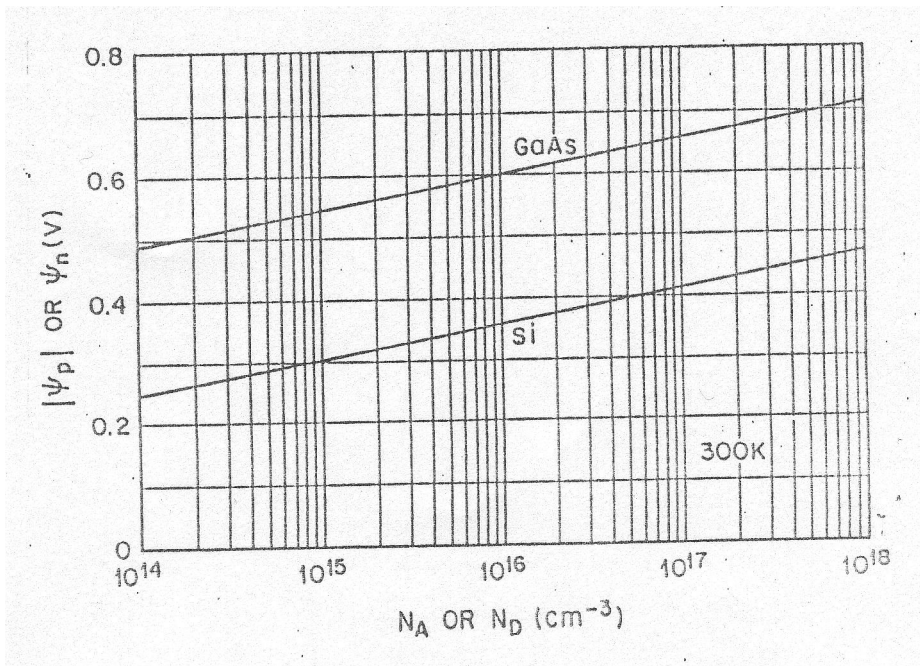
$$\psi_n \equiv -\frac{1}{q} (E_{Fi} - E_F) \Big|_{x \geq x_n}$$

$$\psi_p = \frac{kT}{q} \ln \frac{N_D}{n_i}$$

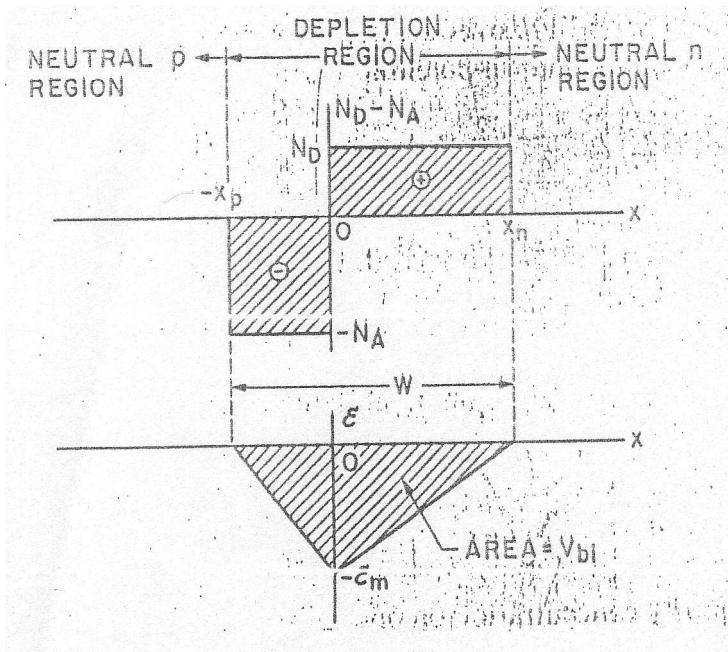
Elektrosztatikus (beépített) potenciál:

$$\begin{aligned} V_{bi} &= \psi_p - \psi_n = \\ &= \frac{kT}{q} \ln \frac{N_A N_D}{n_i^2} \end{aligned}$$

Beépített potenciál az abrupt átmenet p- és n- oldalán



Tértöltés eloszlás a kiürített rétegben termikus egyensúlyban



$$N_A x_p = N_D x_n$$

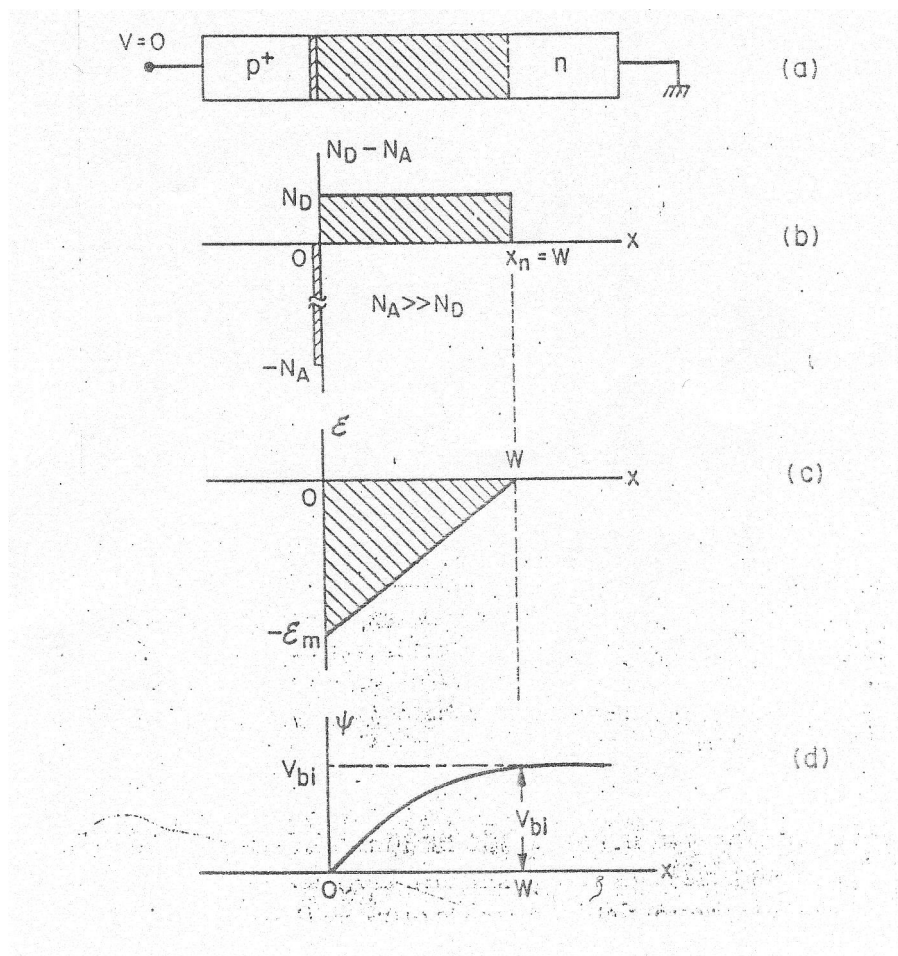
$$W = x_p + x_n$$

W : a kiürített réteg vastagsága

$$W = \sqrt{\frac{2\epsilon_s}{q} \left[\frac{N_A + N_D}{N_A \cdot N_D} \right] \cdot V_{bi}}$$

A kiürített réteg teljes vastagsága a beépített potenciál V_{bi} függvényében

Egyoldalú abrupt p-n átmenet



Termikus egyensúlyban
 $N_A \gg N_D$

Tértöltés eloszlás a
 kiürített rétegben

Elektromos térerőslés a
 kiürített rétegben

Potenciáeloszlás az
 átmenettől mért távolság
 függvényében

Kiürített réteg vastagság:
$$W \cong x_n = \sqrt{\frac{2\epsilon_s V_{bi}}{qN_D}}$$

Maximális térerősség:
$$E_m = \frac{qN_D W}{\epsilon_s}$$

Potenciál eloszlás:
$$\psi(x) = \frac{W_{bi} x}{W} \left[2 - \frac{x}{W} \right]$$

Lineáris fokozatos átmenet

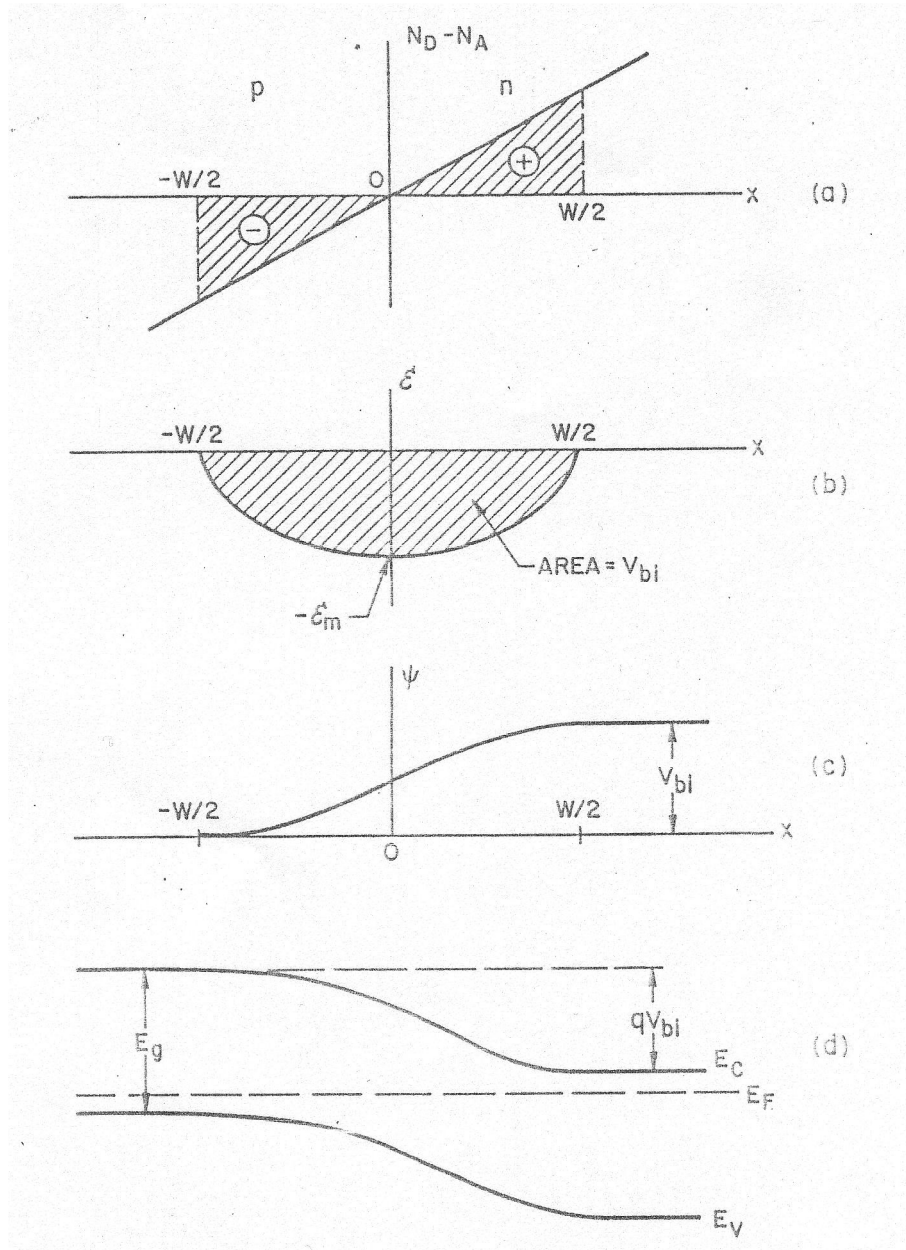
Termikus egyensúly

Tértöltés eloszlás

Elektromos tér

Potenciálmenet

Sávdiaagram



Kiürített réteg vastagság:
$$W = \left[\frac{12\epsilon_s V_{bi}}{q \cdot a} \right]^{1/3}$$

Maximális térerősség:
$$E_m = \frac{q \cdot a \cdot W^2}{8\epsilon_s}$$

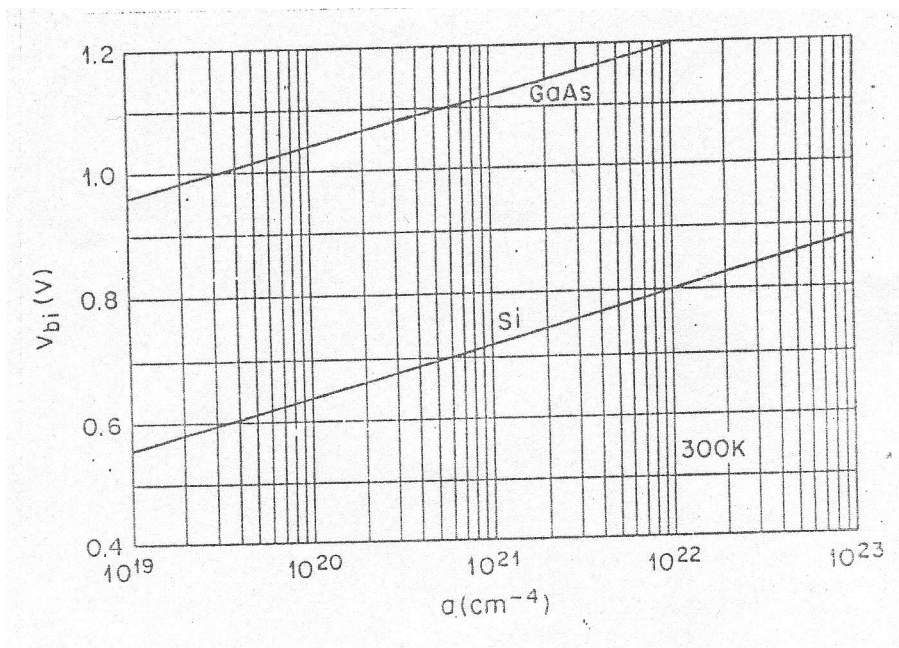
Potenciál menetből:
$$V_{bi} = \frac{2kT}{q} \cdot \ln \left[\frac{a \cdot W}{2n_i} \right]$$

Beépített potenciál:

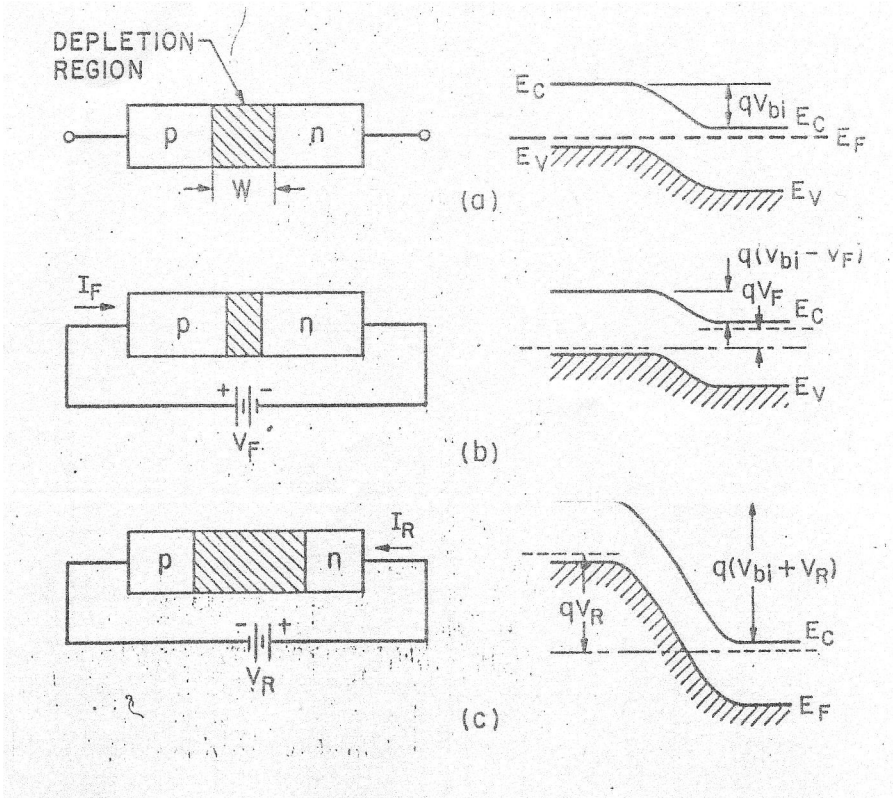
$$V_{bi} = \frac{q \cdot a \cdot W^3}{12\epsilon_s}$$

a [cm^{-4}] szennyező
gradiens (lineáris
átmenet)

Lineáris gradiensű átmenetek beépített potenciálja a szennyező gradiens függvényében



Nem egyensúlyi állapot abrupt átmenet esetében:
$$W = \sqrt{\frac{2\epsilon_s (V_{bi} - V)}{qN_B}}$$



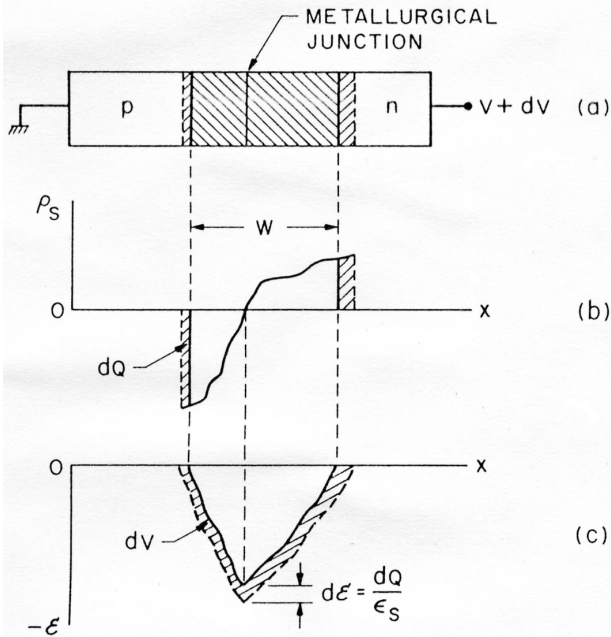
Termikus egyensúlyban

Nyitóirányú előfeszítésnél ($V_F > 0$)
 $V_{bi} - V_F$ - hat \rightarrow W csökken

Záróirányú előfeszítés ($V_R > 0$) $V_{bi} + V_R$ hat \rightarrow W nő

- F** Forward (nyitóirányú)
- R** Reverse (záróirányú)

A kiürített réteg kapacitása



általános $p - n$ átmenet
(tetszőleges adalékprofil)

tértöltés-eloszlás változás a záró előfeszítés következtében

az elektromos tér eloszlásának megfelelő változása

j = junction - átmenet

A kiürített réteg kapacitása:

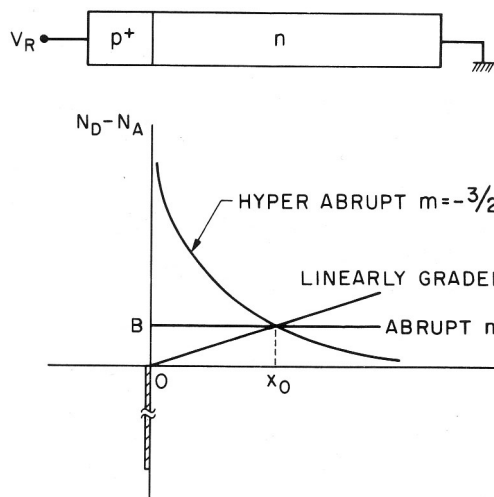
$$C_j \equiv \frac{dQ}{dV} = \frac{dQ}{W \frac{dQ}{\epsilon_s}} = \frac{\epsilon_s}{W} \quad [F/cm^2]$$

$$\frac{1}{C_j^2} = \frac{2(V_{bi} - V)}{q\epsilon_s N_B} \rightarrow \frac{1}{C_j^2} \sim f(V)$$

meredeksége: $1/N_B$

Adalékprofil mérés

$$dV \cong (dE)W = \left(\frac{dQ}{\epsilon_s} \right) W = \frac{qN(W)d(W^2)}{2\epsilon_s}$$



Speciális eset (abrupt $p - n$ átmenet):

$$C_j = \frac{\epsilon_s}{W} = \sqrt{\frac{q\epsilon_s N_B}{2(V_{bi} - V)}}$$

egyenes vonal abrupt $p - n$ átmenet esetén

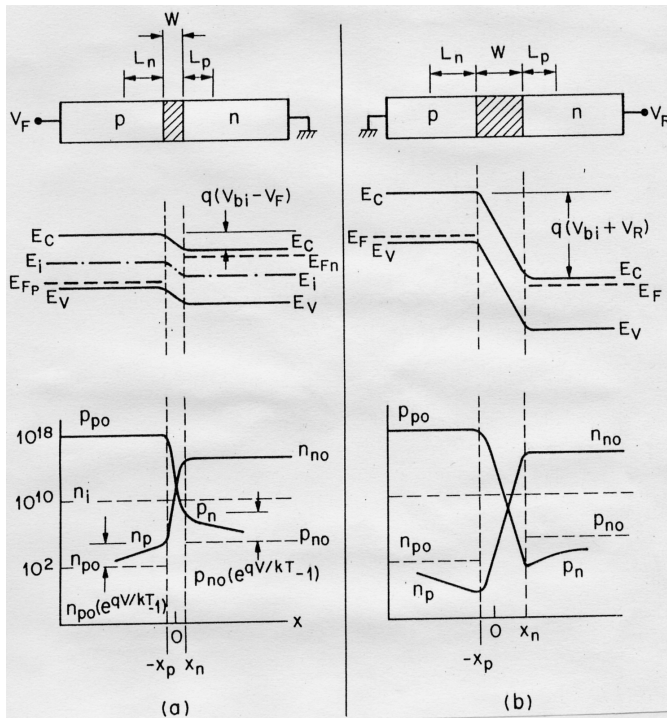
$$X\text{-tengely metszet: } V_{bi} \left(\frac{1}{C_j^2} = 0 \right)$$

feszültségnövelés hatása $\rightarrow dW$

$$N(W) = \frac{2}{q\epsilon_s} \left[\frac{1}{d \left(\frac{1}{C_j^2} \right) dV} \right]$$

$$C_j = \frac{\epsilon_s}{W} \sim (V_R)^{\frac{1}{m+2}} \text{ (kiürített réteg kapacitás)}$$

Áram – feszültség jelgörbe



kiürített réteg

sávdiaagram

töltéshordozó eloszlás

V_F nyitóirányú előfeszítés

V_R záróirányú előfeszítés

Ideális esetben:

- abrupt kiürített réteg, határán kívül a félvezető semleges;
- töltéshordozó sűrűség a határfelületeken az átmeneten eső feszültség függvénye;
- alacsonyszintű injekció → alacsony kisebbségi töltéshordozó sűrűség injekció a többségihez képest;
- nincs generáció-rekombináció a kiürített rétegben;
- az elektron-lyuk áram állandó a kiürített rétegben.

Termikus egyensúlyban: $p_{p0} \cong N_a$, $n_{n0} = N_d$

$$V_{bi} = \frac{kT}{q} \ln \frac{p_{p0} n_{n0}}{n_i^2} = \frac{kT}{q} \ln \frac{n_{n0}}{n_{p0}}$$

$$n_{n0} = n_{p0} \exp\left(\frac{qV_{bi}}{kT}\right)$$

elektronsűrűség a kiürített réteg határán

$$p_{p0} = p_{n0} \exp\left(\frac{qV_{bi}}{kT}\right)$$

lyuksűrűség a kiürített réteg határán

V_{bi} elektrosztatikus potenciálkülönbség a kiürített rétegen át

Áram – feszültség jelgörbe

Nyitóirányú előfeszítés esetén: V_{bi} csökken $\rightarrow V_{bi} - V_F$, ha $V_F > 0$.

Záróirányú előfeszítés esetén: V_{bi} nő $\rightarrow V_{bi} + V_R$, ha $V_R < 0$.

$n_n = n_p \exp\left(\frac{q(V_{bi} - V)}{kT}\right)$ nemegyensúlyi elektronsűrűség a kiürített réteg határán az n - és p - oldalon

$n_n \cong n_0$ ← az alacsonyszintű injekció miatt

$$x = -x_p \quad n_p = n_{p0} \exp\left(\frac{qV}{kT}\right) \quad x = x_n \quad p_n = p_{n0} \exp\left(\frac{qV}{kT}\right)$$

$$(p\text{-oldal}) \quad n_p - n_{p0} = n_{p0} \exp\left(\frac{qV}{kT} - 1\right) \quad (n\text{-oldal}) \quad p_n - p_{n0} = p_{n0} \exp\left(\frac{qV}{kT} - 1\right)$$

Nyitóirányú előfeszítés: kisebbségi töltéshordozó sűrűség jóval egyensúlyi érték felett van mindkét oldalon;

Záróirányú előfeszítés: kisebbségi töltéshordozó sűrűség az egyensúlyi érték alatt van.

Mivel nincs **generáció-rekombináció** a kiürített rétegben \rightarrow nincs elektromos tér, az áramok azonosak a $-x_p$; x_n határon

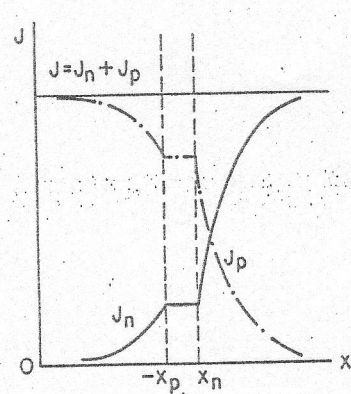
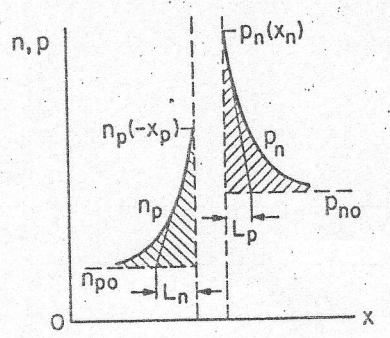
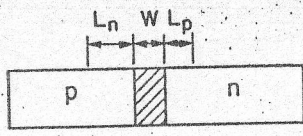
$$\frac{d^2 p_n}{dx^2} - \frac{p_n - p_{n0}}{D_p \tau_p} = 0 \quad p_n(x = \infty) = p_{n0}$$

$$p_n - p_{n0} = p_{n0} \exp\left(\frac{qV}{kT} - 1\right) \exp\left(\frac{-(x - x_n)}{L_p}\right) \quad L_p = \sqrt{D_p \tau_p}$$

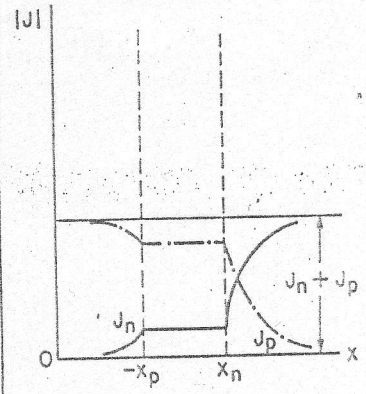
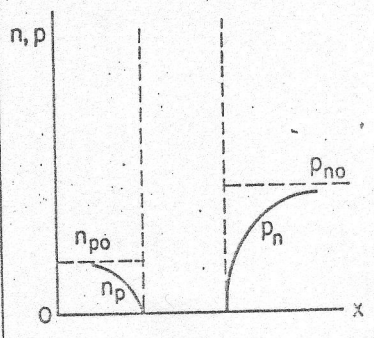
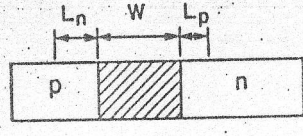
$$J_p(x_n) = -qD_p \left. \frac{dp_n}{dx} \right|_{x_n} = \frac{qD_p p_{n0}}{L_p} \left(\exp\left(\frac{qV}{kT}\right) - 1 \right)$$

$$n_p - n_{p0} = n_{p0} \exp\left(\frac{qV}{kT} - 1\right) \exp\left(\frac{x - x_p}{L_n}\right) \quad L_n = \sqrt{D_n \tau_n}$$

$$J_n(-x_p) = -qD_n \left. \frac{dn_p}{dx} \right|_{-x_p} = \frac{qD_n n_{p0}}{L_n} \left(\exp\left(\frac{qV}{kT}\right) - 1 \right)$$



Nyitó előfeszítés



Záró előfeszítés

Kiürített réteg

Kissebségi töltéshordozó eloszlás

Elektron és lyukáramok

$$= J_p(x_n) + J_n(-x_p) = J_s \left(\exp \frac{qV}{kT} - 1 \right)$$

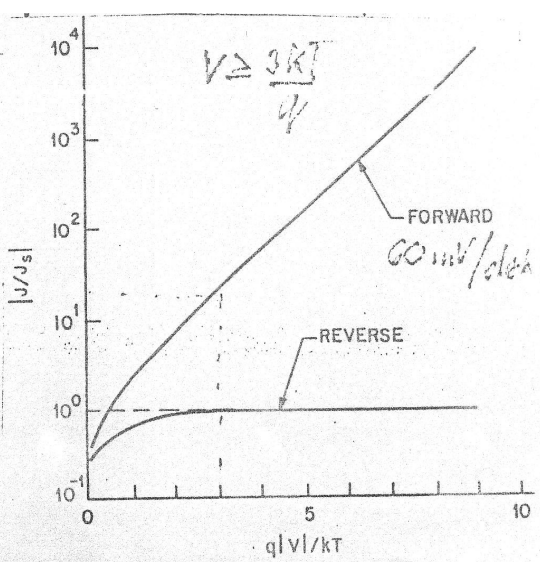
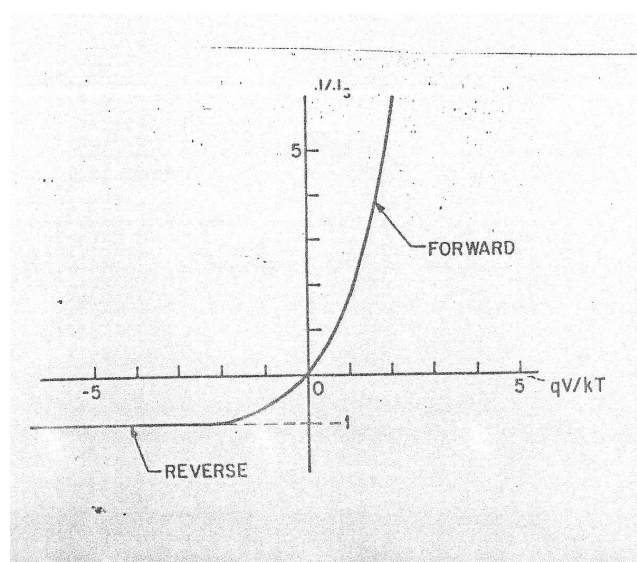
$$= \frac{qD_p p_{n0}}{L_p} + \frac{qD_n n_{p0}}{L_n}$$

Teljes áramsűrűség (a kiürített rétegen át)

Telítési áramsűrűség

IDEÁLIS DIÓDAEGYENLET!

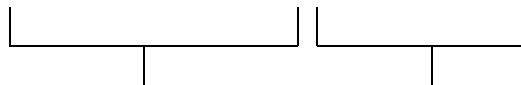
Jelleggörbe I-V: (Ge)



Si és GaAs esetében a **Generáció-Rekombináció** nem elhanyagolható

Záróáram:

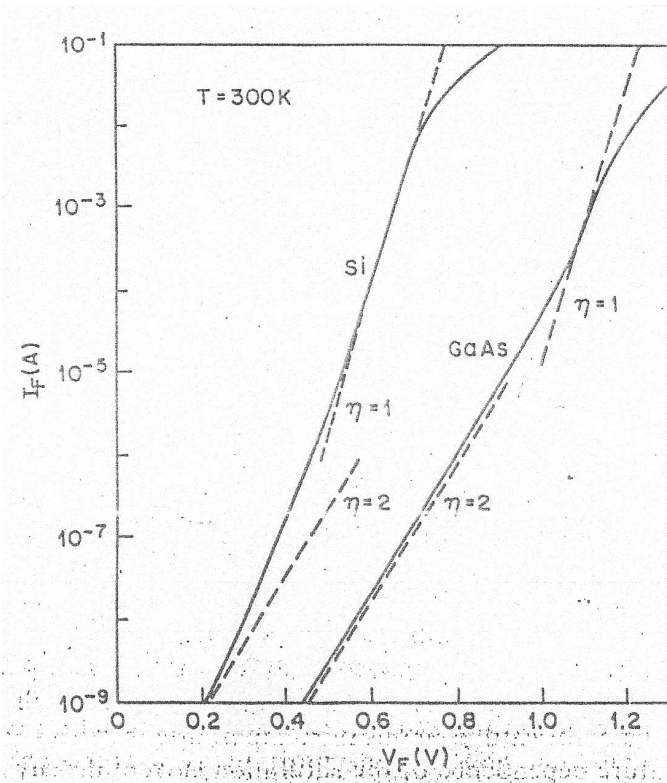
$$J_R \cong q \sqrt{\frac{D_p}{\tau_p} \cdot \frac{n^2}{N_D}} + \frac{q \cdot n_i \cdot W}{\tau_g}$$



Nagy n_i esetén
(Ge) dominál

Kis n_i (Si, Ga, As) esetén
generáció dominál

$$J_F \sim \exp\left[\frac{qV}{\eta kT}\right] \quad \eta \text{ idealitási tényező}$$



Si és GaAs diódák nyitóáram-feszültség görbéje

Nagyáramú tartomány: $\eta = 1$
(diffúziós áram dominál)

Kisáramú tartomány: $\eta = 2$
(rekombinációs áram dominál)

Ha mindkét áram közel azonos,
akkor $1 < \eta < 2$.

Nagyáramú injekciónál eltérés van az $\eta = 1$ meredekségtől. **Okok:**

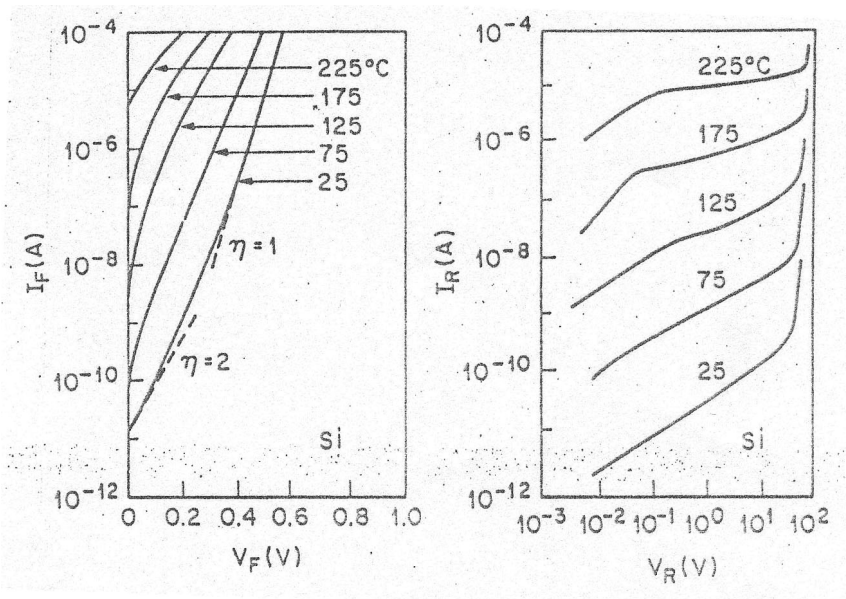
– soros ellenállás hatása

$$I \cong I_s \cdot \exp\left[\frac{q(V - IR)}{kT}\right]$$

– nagyszintű injekció (az $I - V$ jelleggörbének csökken a meredeksége):

$$p_n(x = x_n) \cong n_n \Rightarrow I \sim \exp\frac{qV}{2kT}$$

Hőmérsékleti hatás



Si dióda I - V görbe hőfokfüggése

Nyitó

Záró

$$J_s \approx \frac{q \cdot D_p \cdot p_{n_0}}{L_p} \sim n_i^2 \sim \exp\left[-\frac{E_g}{kT}\right]$$

Aktivációs energia: $J_s = f\left(\frac{1}{T}\right)$ meredeksége $\rightarrow E_g$ sáv szélesség

$$\frac{I_{diff}}{I_{gen}} = \frac{n_i L_p}{N_D W} \cdot \frac{\tau_g}{\tau_p} \sim n_i$$

növekvő $T \rightarrow$ diffúzió dominál

alacsony $T \rightarrow$ generáció dominál

Töltéstárolás és tranziens viselkedés

Injektált kisebbségi töltéshordozó a semleges tartományban - **tárolás**

$$Q_p = q \int_{x_n}^{\infty} (p_n - p_{n0}) dx \rightarrow qL_p p_{n0} \left(\exp\left(\frac{qV}{kT}\right) - 1 \right)$$

$$Q_p = \frac{L_p^2}{D_p} J_p(x_n) = \tau_p J_p(x_n) \quad \text{lyuktárolás az } n - \text{oldalon}$$

τ_p kisebbségi töltéshordozó élettartam

$J_p(x_n)$ kisebbségi töltéshordozó áram

Diffúziós kapacitás:

- kiürített réteg kapacitás záróirányú előfeszítésnél
- átrendeződés, töltéstárolás nyitóirányú előfeszítésnél

$$C_d = A \frac{dQ}{dV} \quad \text{kisebbségi töltéshordozó diffúzió a semleges tartományban -}$$

töltéstárolás Q_p

$$C_d = \frac{Aq^2 L_p p_{n0}}{kT} \exp\left(\frac{qV}{kT}\right) \quad \text{lyuktárolás az } n - \text{oldalon} + \text{elektrontárolás a } p -$$

oldalon, de $p^+ - n$ átmenetre, $p_{n0} \gg n_{p0}$, ezért az **elektrontárolás elhanyagolható**

Záró irányban ($V = V_R < 0$):

$$C_d \sim \exp\left(-\frac{qV}{kT}\right), \text{ emiatt a } \textbf{diffúziós kapacitás záró irányban elhanyagolható}$$

$p - n$ **átmenet helyettesítő képe** (*equivalent circuit*) kis amplitúdójú szinuszos bemenőjel esetén:

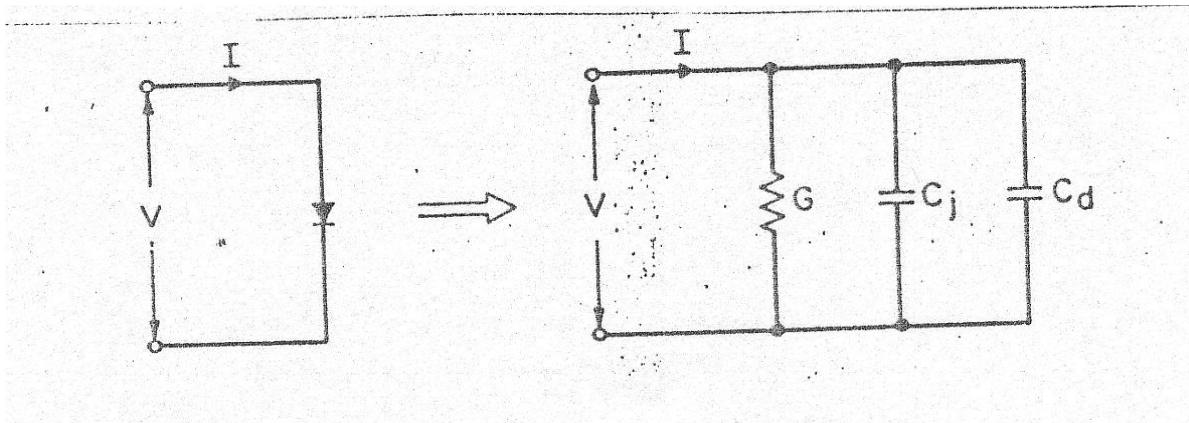
C_j a teljes kiürített réteg kapacitása

C_d a diffúziós kapacitás

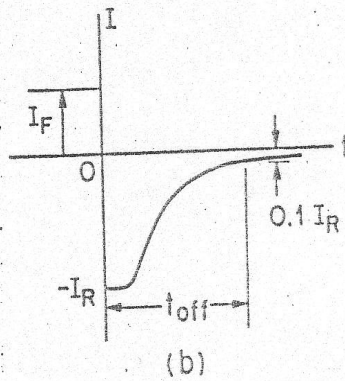
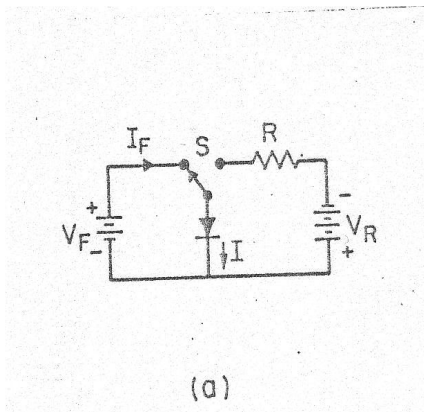
G a konduktancia (áram a diódán át)

$$G = \frac{AdI}{dV} = \frac{qA}{kT} J_s \exp\left(\frac{qV}{kT}\right) = \frac{qA}{kT} (J_s + J) \cong \frac{qI}{kT}$$

Kisjelű helyettesítő kapcsolás:



Tranziens viselkedés



$t < 0, \quad -I = I_F$
 $t = 0, \quad I_R \approx \frac{V}{R}$ kezdeti
 záró áram
 $t_{off} - 0,1 \cdot I_R$ eléréséhez
 szükséges idő

Alapkapcsolás

Kapcsolási (nyitóból-záró irányba)
tranziens az áramban

$$t_{off} \cong \frac{Q_p A}{I_{R_{\text{ált.}}}}$$

$$Q_p = \tau_p \cdot J_p = \tau_p \frac{I_F}{A}$$

$$t_{off} = \tau_p \left[\frac{I_F}{I_{R_{\text{ált.}}}} \right]$$

A kapcsoló eszközökben τ_p kissebségi
töltéshordozó élettartamot csökkenteni kell!!!



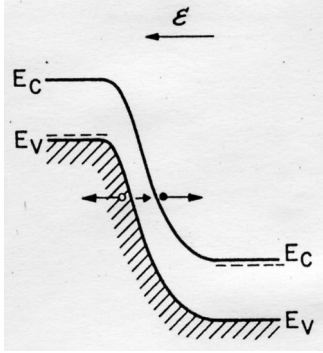
Rekombináció-Generáció centrumok bevitel
pl. **Au** diffúzió következtében mély szintek
jönnek létre

p-n átmenet letörése

Túláram záró irányban elkerülendő, mert destruktív (termikus túlterhelés ellen R)

Letörési mechanizmusok:

- **tunnelezés (alagút-hatás)**, az a folyamat, mikor az elektron a tiltott sáv áthatolásával teszi meg a vegyérték – vezetési sávba történő átmenetet);



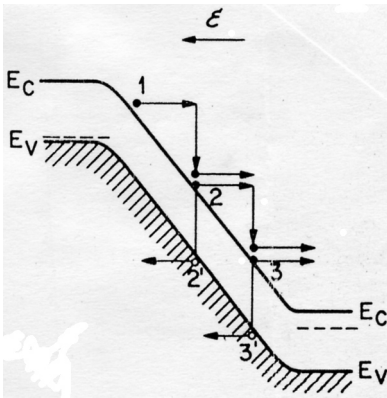
csak **extrém nagy elektromos tér**
(**Si, GaAs** $E \geq 10^6 \text{ V/cm}$),

illetve

magas adalékkoncentráció (p és $n > 5 \cdot 10^{17} \text{ cm}^{-3}$) esetén történik.

Alagút letörésnél a letörési feszültség, a $V_{BD} < 4E_g/q$.

- **lavinasokszorozódás (ütközéses ionizáció)**



$$M_n \equiv \frac{I_n(W)}{I_{n0}} \text{ sokszorozódási (multiplikációs) tényező}$$

Letörési feszültség esetén: $M_n \rightarrow \infty$

Lavina letörésnél a letörési feszültség, a $V_{BD} > 6E_g/q$.

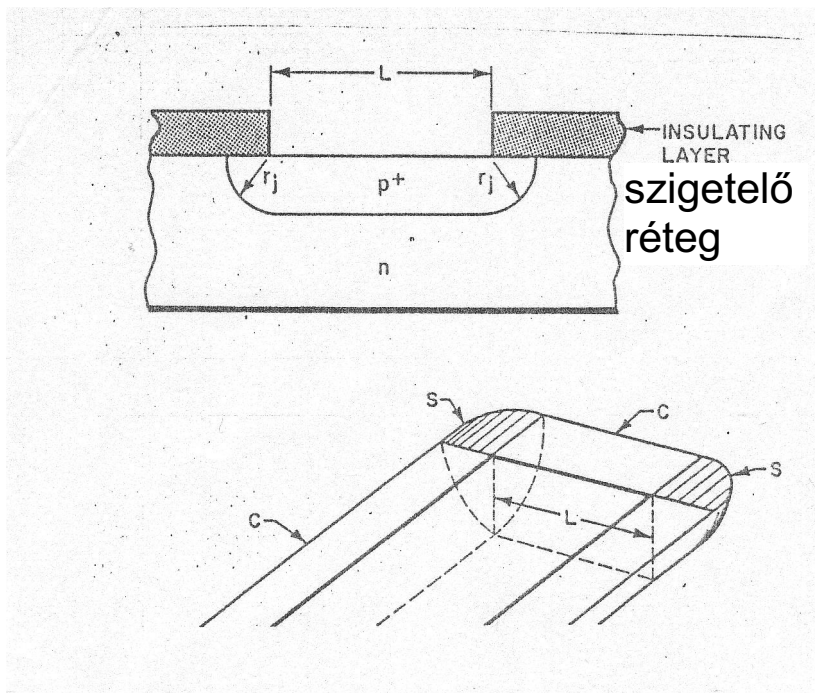
Ha a letörési feszültség $4E_g/q$ és $6E_g/q$ közé esik, akkor a letörést mindkét letörési mechanizmus okozza.

Gyakorlati esetek:

$V_{BD} \uparrow$

planáris	}	tartományok \rightarrow kissugarú sarokgömbű letek kritikusak
hengeres		
szférikus		

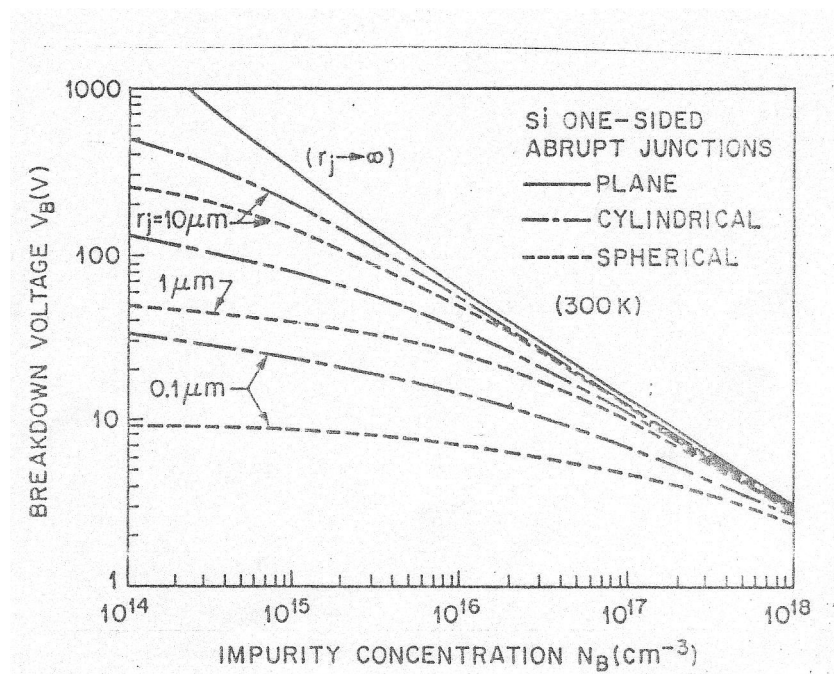
Adalékprofil hatása a letörési feszültség értékére



L a diffúziós terület szélessége maszkoló rétegben (nyitott ablak mérete)

A diffúziós terület térbeli metszete

s a szférikus sarok
 c a cilindrikus görbület
 r_j a görbületi sugár



Letörési feszültség függése az adalék koncentrációtól egyoldalú abrupt adalékolású profil esetén